

شبیه سازی کامپیووتری لهیدگی موضعی میوه سیب رقم رد دلیشور

حسن صدرنیا^{۱*}، باقر عمامی^۲، علی رجبی پور^۳ و جوس دی بیارد میکر^۴

^{۱، ۲} استادیاران، دانشکده کشاورزی، دانشگاه فردوسی مشهد^۳ دانشیار، دانشکده مهندسی و فناوری کشاورزی، دانشگاه تهران^۴ استاد، دانشکده مهندسی علوم زیستی، دانشگاه کاتولیک لونن بلژیک.

(تاریخ دریافت: ۱۳۸۸/۱۲/۳ - تاریخ تصویب: ۱۳۸۹/۱۱/۲۵)

چکیده

سالانه مقادیر زیادی از میوه‌ها در اثر لهیدگی و سایر آسیب‌های مکانیکی هنگام برداشت، حمل و نقل، انتبار کردن و بسته‌بندی از بین می‌روند یا دچار افت کیفیت می‌شوند. این در حالی است که تاکنون بیشتر پژوهش‌های انجام شده برای تحلیل عملیات مذکور با آزمون‌های عملی همراه بوده است و نتایج آن فقط در شرایط خاص می‌تواند مورد استفاده قرار گیرد. هدف از این تحقیق توسعه مدل‌های شبیه سازی کامپیووتری جهت بهینه سازی و طراحی عملیات پس از برداشت است، به نحوی که میزان آسیب دیدگی میوه به کمترین مقدار ممکن برسد. برای این منظور دو سری آزمایش بر روی سیب رقم رد دلیشور انجام شد. سری نخست آزمایش‌ها شامل اندازه‌گیری ابعاد، شعاع انحنای سطح، خواص مکانیکی بافت و سایر پارامترهای مورد نیاز جهت ایجاد مدل‌های دقیق اجزای محدود بود. سری دوم آزمایش‌ها شامل اندازه‌گیری توزیع فشار در سطح تماس بارگذاری و تهیه نمودارهای نیرو - تغییر شکل جهت ارزیابی و مقایسه مدل‌های شبیه سازی انجام شد. میانگین انحنا در قسمت میانی میوه ۶۱/۴۳ میلی‌متر به دست آمد که بیش از ۳/۷ برابر انحنا در قسمت فوقانی و تحتانی آن است. همچنین در آزمایش تعیین خواص مکانیکی، میانگین تنش و کرنش شکست بافت سیب رقم رد دلیشور به ترتیب ۲۸۲ کیلوپاسکال و ۰/۰۷۱ حاصل شد. نتایج بررسی‌های انجام شده روی مدل‌های شبیه سازی نشان داد بین نتایج مدل الاستیک و آزمایش اختلاف معنی دار وجود دارد، لیکن بین نتایج مدل الاستوپلاستیک و آزمایش اختلاف معنی دار در سطح یک درصد مشاهده نشد. حداکثر بارگذاری مجاز برای رقم رد دلیشور به کمک مدل شبیه سازی شده با خواص مادی الاستوپلاستیک ۳۲ نیوتون به دست آمد که با گزارشات سایر محققین مطابقت بسیار خوبی دارد. مدل شبیه سازی شده در این تحقیق می‌تواند لهیدگی میوه را در بارگذاری شبیه استاتیکی با دقت قابل قبولی تعیین کند.

واژه‌های کلیدی: آسیب مکانیکی، مدل الاستوپلاستیک، فشار تماسی، تنش شکست بافت، اجزای محدود

میوه پاره شده و مواد درون سلولی با هم آمیخته می‌گردد. این عمل موجب می‌گردد تا بافت میوه در این ناحیه تغییر رنگ داده و قهوه‌ای شود (Rahemi, 2005).

از طرف دیگر اندازه‌گیری تنش‌های ایجاد شده در داخل سیب حين بارگذاری‌های مختلف بسیار مشکل است. روش جایگزین مناسب استفاده از تحلیل اجزای محدود^۱ (FEA) جهت تخمین تنش‌های داخلی است. به کمک روش اجزای محدود می‌توان اجسام با شکل غیر منظم و ناهمگن (با مدول الاستیسیته متفاوت) را مدل نمود. همچنین روش اجزای محدود توانایی حل مسائل غیرخطی از قبیل تغییرشکل هندسی جسم و چگونگی تماس اجسام را دارد.

مطالعات گستره‌ای در زمینه لهیدگی موضعی میوه‌ها حين عملیات پس از برداشت، به ویژه بر روی سیب، صورت گرفته است که بیشتر آنان بر پایه آزمایش‌های تجربی بوده

مقدمه

بیش از ۳۰ درصد سیب‌ها طی عملیات چیدن، جایه‌جایی و نگهداری صدمه می‌بینند (Kupferman, 2006). دلیل این امر وجود هر دو نوع بارگذاری دینامیکی و استاتیکی در مراحل مختلف پس از برداشت است که می‌تواند موجب آسیب دیدگی جزئی و کلی در میوه شود. البته مقررات سختی در استانداردهای درجه بندی میوه برای حجم ناحیه آسیب دیده تدوین شده است. براساس استاندارد درجه بندی آمریکا، وجود ناحیه آسیب دیده به قطر ۱۶ میلی‌متر و عمق ۱/۶ میلی‌متر موجب خارج شدن میوه سیب از شاخنهای درجه عالی خواهد شد (USDA, 2002). آنچه که باعث آسیب دیدگی می‌گردد افزایش تنش حاصل از نیروهای خارجی به مقداری بیش از تنش شکست بافت است. در این شرایط دیواره سلول‌های بافت

*نویسنده مسئول: hassan.sadrnia@yahoo.com

تشدید و فرکانس‌های طبیعی میوه مد نظر باشد. این فرض خطای زیادی را در نتایج به وجود نمی‌آورد. همچنین در کتب مرجع رفتار مکانیکی محصولات کشاورزی را در طبقه مواد ویسکوالاستیک در نظر می‌گیرند و مدل‌هایی از قبیل مدل ماکسول و کلوین را برای بیان تغییر شکل میوه حین بارگذاری ارائه داده‌اند (Mohsenin, 1986; Sitkei, 1986). استفاده از این مدل‌ها در تعیین رفتار مکانیکی میوه بارگذاری شده تا قبل از Lewis et al. نقطه شکست می‌تواند مفید باشد. همچنین (2007) با استفاده از مدل خطی اجزای محدود و با فرض همگن و الاستیسیته بودن سیب به بررسی تنش تماسی در محدوده بارگذاری صفر تا ۱۰۰ نیوتون پرداختند. با توجه به فرضیات تحقیقات گذشته کاربرد مدل‌های ساده به دست آمده نیز محدود است. هدف از این تحقیق استفاده از اندازه‌گیری‌های دقیق خواص مکانیکی بافت و شکل هندسی میوه سیب به منظور توسعه مدل کامپیوتری سه بعدی بهبود یافته تعیین لهیلدگی جهت استفاده در بهینه‌سازی مکانیزم‌های پس از برداشت و حمل و نقل است.

مواد و روش‌ها

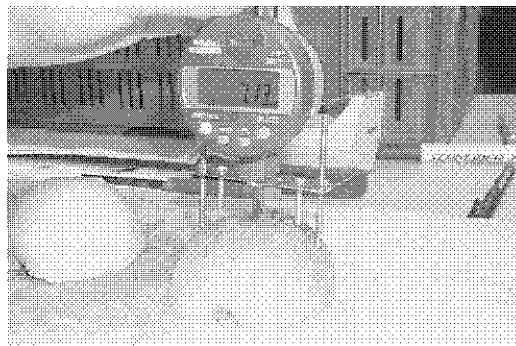
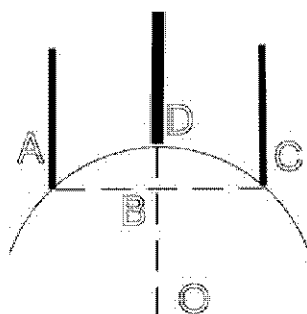
آزمایش‌های عملی

دو سری آزمایش عملی در این تحقیق بر روی سیب رقم رد دلیشور^۱ انجام شد. سری اول آزمایش‌ها به منظور جمع‌آوری داده‌ها برای ایجاد مدل اجزای محدود انجام گرفت. این آزمایش‌ها شامل اندازه‌گیری ابعاد (سه قطر عمود بر هم: قطر بزرگ، قطر میانی و قطر کوچک)، شاعع انحنای سطح (ناحیه فوقانی، ناحیه میانی و ناحیه تحتانی) و خواص مکانیکی بافت (مدول الاستیسیته، تنش شکست و کرنش شکست) هستند. طبق استاندارد آزمون مواد غذایی انجمن مهندسان کشاورزی آمریکا (ASAE, 2003) ۲۰ تکرار برای هر آزمایش در نظر گرفته شد. ابعاد به کمک کولیس دیجیتالی با دقت ۰/۰۵ میلی‌متر اندازه‌گیری شد. شاعع انحنای سطح در هر موقعیت با استفاده از انحناسنج به دست آمد. به علت در دسترس نبودن انحناسنج تجاری، دستگاه مذکور به کمک یک ساعت دیجیتالی مدل میتوتویو (Mitutoyo Belgium NV, Kruijbeke) ساخته شد (شکل ۱). شاعع انحنای سطح به کمک رابطه (۱) می‌تواند محاسبه شود (Mohsenine, 1986):

$$\text{شعاع انحنای سطح} = \frac{(AC)^2 + (BD)}{8(BD)} \quad (1)$$

است. Brown & Segerlind (1975) گزارش دادند اندازه لهیلدگی‌ها در قسمت‌های فوقانی و تحتانی میوه کمتر از سایر قسمت‌های میوه است. دلیل تفاوت در اندازه لهیلدگی‌ها، تغییر در شاعع انحنای میوه بیان شده است. در تحقیق مشابه دیگری Siyami et al. (1988) گزارش دادند که شاعع انحنای میوه سیب بر حجم و قطر لهیلدگی اثر معنی‌داری دارد به طوری که با افزایش شاعع انحنای میوه، حجم و قطر لهیلدگی کاهش می‌یابد. Johnson & Dover (1990) نشان دادند سیب‌های بزرگتر دارای سلول‌های بزرگتر و دیواره سلولی نازک‌تر هستند. این امر باعث ضعیف و سست شدن بافت می‌شود که در نتیجه تنش شکست بافت را کاهش داده، آسانتر دچار لهیلدگی می‌شود. Van Lancker (1979) Hyde et al. (2001) نشان دادند که میزان آسیب دیدگی سیب با افزایش دما کاهش می‌یابد. علت این تغییر در نتیجه کاهش مدول الاستیسیته با افزایش دما است. Afkari Sayyah, et al. (2008) تاثیر بارهای مکانیکی بر آسیب‌های واردہ بر دو رقم سیب گلدن دلیشور (لبنانی زرد) و رد دلیشور نمودند که با افزایش مدت انبارداری در هر دو رقم قابلیت کوفتنگی (حساسیت به لهیلدگی) کاهش می‌یابد. Van Zeebroeck et al. (2007) فاکتورهای موثر بر لهیلدگی میوه سیب را مورد مطالعه قرار دادند و گزارش نمودند زمان برداشت بر لهیلدگی ایجاد شده در سیب موثر است. به طور خلاصه نتایج به دست آمده از تاثیر فاکتورهای مختلف بر لهیلدگی را می‌توان در دو دسته اصلی هندسه میوه و خواص بافت (شامل کلیه خواص فیزیکی، مکانیکی و ...) طبقه بندی نمود.

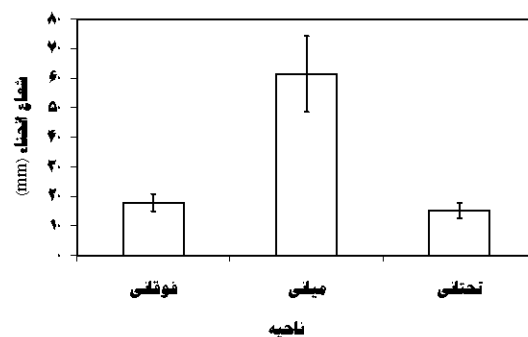
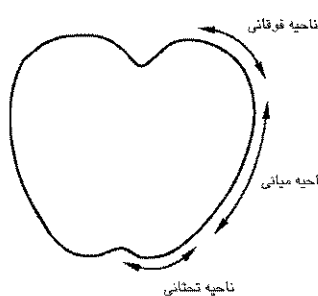
ضعف عمدۀ روش‌های تجربی، پرهزینه و زمان بر بودن آنها است. همچنین ثابت نگه داشتن شرایط آزمایشگاه جهت بررسی اثر یک پارامتر، مشکل و گاهی غیر قابل دسترسی است. بنابراین برخی محققین اقدام به انجام مدل سازی میوه در شرایط بارگذاری مختلف نموده‌اند که در سال‌های اخیر این شیوه از تحقیقات رو به افزایش است. Mohsenin (1986) با استفاده از معادلات هرتز تنش‌های ایجاد شده در ناحیه تماس را بررسی نمود. باید توجه داشت که به کارگیری معادلات هرتز نیاز به فرضیاتی برای ساده نمودن مسئله دارد که ممکن است دقت نتایج به دست آمده را مخدوش کند. روش المان‌های محدود برای بررسی و تعیین مدهای ارتعاشی و پاسخ گذرای میوه سیب توسط Lu & Abbott (1997) استفاده شد. در بسیاری از تحقیقات گذشته رفتار مادی بافت میوه به صورت (Cardenas-Weber et al., 1991; Wang & Jiao, 2004; Nourain et al., 2005; Chen, et al. 1996) ساده شده خطی و ایزوتوپیک مدل شده است.



شکل ۱- دستگاه انحناسنج سطح با استفاده از ساعت دیجیتالی و نحوه محاسبه شعاع انحنای میوه در موقعیت مورد نظر (Van Zeebroeck, 2005)

که اختلاف قسمت میانی با دو قسمت فوقانی و تحتانی نسبتاً زیاد و در حدود $\frac{3}{7}$ برابر است (شکل ۲). بررسی مقادیر مشخصات هندسی نشان می‌دهد با وجود آن که اختلاف میانگین بین سه قطر اصلی بسیار کم است لیکن به دلیل وجود اختلاف زیاد در مقادیر انحنای سطح نمی‌توان سبب را به صورت یک جسم کروی در مدل‌های شبیه‌سازی در نظر گرفت.

مقادیر جرم و مشخصات هندسی اندازه‌گیری شده میوه سبب رقم رد دلیلش در جدول (۱) نشان داده شده است. میانگین قطر بزرگ (a) $92/48$ ، قطر میانی (b) $88/34$ و قطر کوچک (c) $87/19$ میلی‌متر به دست آمد که نشان می‌دهد اختلاف کمی بین قطرهای اصلی میوه سبب وجود دارد. از طرف دیگر مقادیر میانگین انحنای قسمت فوقانی $17/83$ ، قسمت میانی $61/43$ و قسمت تحتانی $15/18$ میلی‌متر اندازه‌گیری شد



شکل ۲- انحنای قسمت‌های مختلف میوه سبب

نمونه از ناحیه الاستیک خارج شده و وارد مرحله پلاستیک (بدون بازگشت) می‌شود. به عبارت دیگر در نقطه تسلیم بیولوژیکی به علت پاره شدن دیواره سلول‌های بافت، نمونه قادر به تحمل بار بیشتر نمی‌باشد و در نتیجه کرنش بدون افزایشی در تنش به روند صعودی خود ادامه می‌دهد. با به دست آوردن این نقطه می‌توان مقدار تنش شکست و کرنش شکست را برای هر نمونه محاسبه نمود. جدول (۱) مقادیر تنش شکست، کرنش شکست و مدول الاستیسیته بافت میوه سبب رقم رد دلیلش را نشان می‌دهد. مدول الاستیسیته با فرض خطی بودن تنش و کرنش در ناحیه الاستیک با استفاده از رابطه (۲) محاسبه می‌شود:

$$E = \frac{\sigma}{\epsilon} \quad (2)$$

که در آن E مدول الاستیسیته (مگاپاسکال)، σ تنش (مگاپاسکال) و ϵ کرنش بدون بعد است.

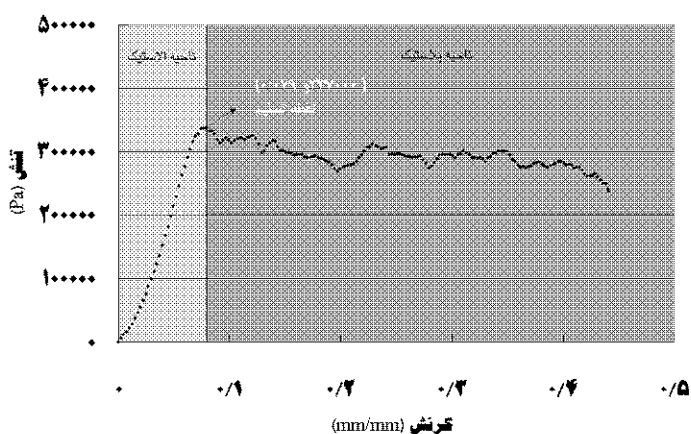
آزمایش تعیین خواص مکانیکی بافت با استفاده از دستگاه تست یونیورسال (مدل یوتی اس ساخت کشور آلمان)^۱ مجهز به تجهیزات بارگذاری فشاری انجام گردید. آزمایش‌ها به صورت پارگذاری تک محوری بر روی نمونه‌های استوانه‌ای به قطر ۱۲ میلی‌متر و ارتفاع ۲۲ میلی‌متر انجام گردید. نمونه‌های استوانه‌ای به کمک یک نمونه‌گیر که به همین منظور ساخته شده بود، از قسمت استوانه‌ای میوه تهیه شدند. سرعت بارگذاری نمونه‌ها بر اساس استاندارد آزمون مواد غذایی انجمن مهندسان کشاورزی آمریکا (ASAE, 2003)، ۲۵ میلی‌متر بر دقیقه و تغییر مکان نهایی ۸ میلی‌متر انتخاب گردید. شکل (۳) نمودار تنش و کرنش به دست آمده از یک نمونه را نشان می‌دهد. همان‌طور که در این نمودار مشخص است در نقطه تسلیم بیولوژیکی^۲

1. Universal Testing Machine (UTS, testsystheme GmbH, Ulm, Germany)

2. Biolytic point

جدول ۱- جرم، مشخصات هندسی و خواص مکانیکی بافت میوه سیب رقم رد دلیشور

مدول الاستیسیته (MPa)	تنش شکست (kPa)	خواص مکانیکی بافت		انحنای سطح (mm)			ابعاد (mm)			جرم (g)
		کرنش شکست	تحتانی	میانی	فوقانی	c	b	a		
۴/۱	۲۸۲	۰/۰۷۱	۱۵/۱۸	۶۱/۴۳	۱۷/۸۳	۸۷/۱۹	۸۸/۳۴	۹۲/۴۸	۳۴۱	میانگین
۰/۹۳	۴۰	۰/۰۱۲	۲/۶۳	۱۲/۸۸	۲/۹۱	۳/۰۳	۲/۸۵	۲/۳۲	۳۰	انحراف معیار
۵/۲	۳۵۷	۰/۰۹۴	۲۱/۷۱	۹۲/۲۲	۲۴/۳۴	۹۱/۰۳	۹۰/۱۲	۹۵/۱۹	۳۷۰	بیشینه
۲/۴	۲۲۹	۰/۰۸۵	۱۲/۳۹	۴۳/۱۹	۱۲/۹۶	۸۴/۱۱	۸۴/۱۰	۸۹/۵۷	۳۱۲	کمینه
۲۲/۶۷	۱۴/۲	۱۶/۴۱	۱۷/۳۱	۲۰/۹۶	۱۶/۳۳	۳/۴۷	۳/۲۲	۲/۵۱	۹	ضریب تغییرات (CV%)

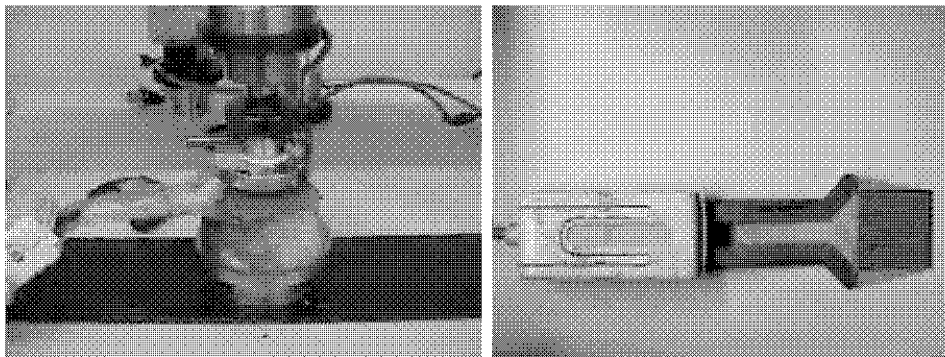


شکل ۳- نمونه‌ای از منحنی تنش-کرنش در بارگذاری تک محوری بر روی بافت میوه سیب

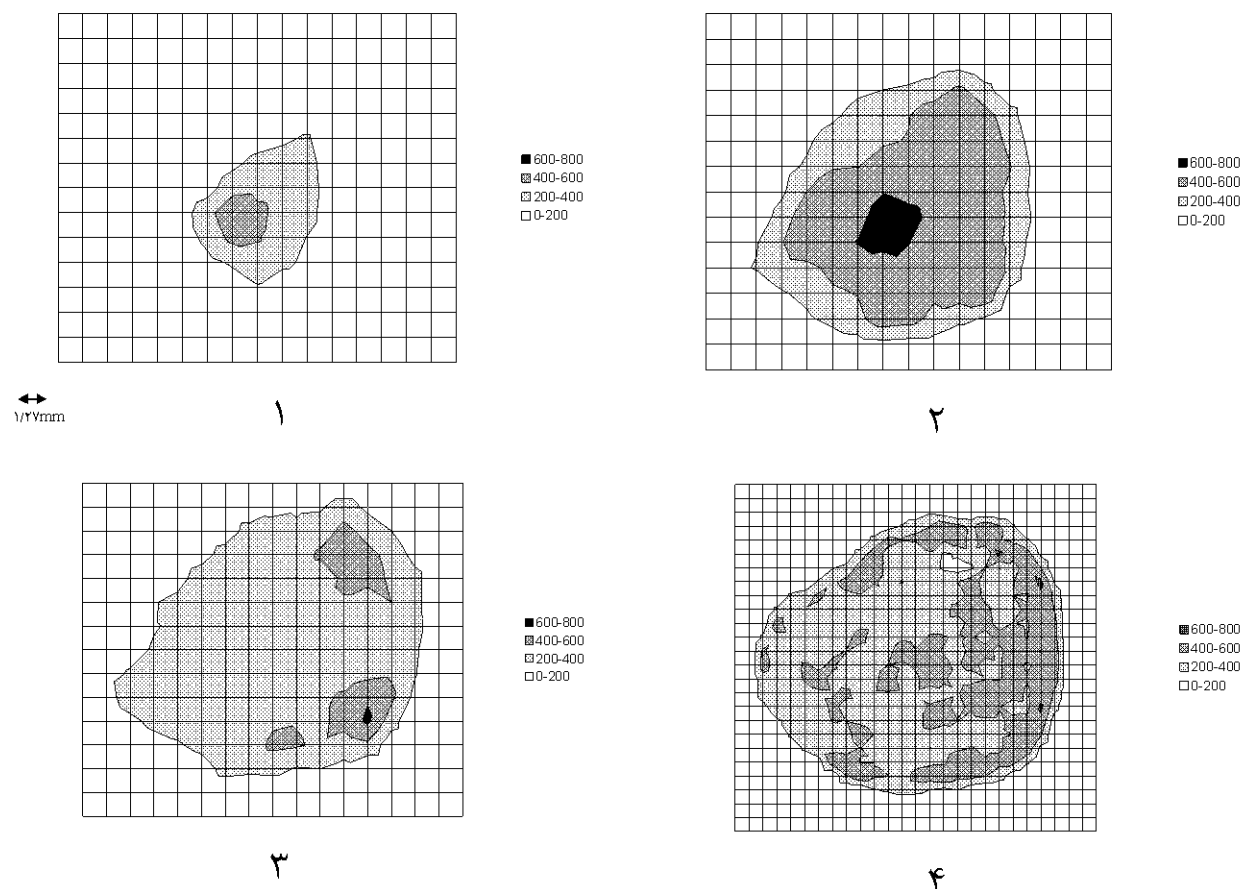
نرم افزار مربوط به تک اسکن، فشار در حین بارگذاری به صورت آنلاین بر روی صفحه نمایش قابل مشاهده و ذخیره سازی است. در این آزمایش بارگذاری با سرعت ۲۵ میلی‌متر بر دقیقه بر روی نصف میوه سیب انجام و به ازای هر $۰/۵$ ثانیه، داده‌های توزیع فشار به دست آمد (شکل ۵). در هنگام انجام آزمایش فوق دو میان مجموعه داده‌ها یعنی مقادیر نیرو-تغییر شکل میوه سیب با استفاده از دستگاه تست یونیورسال حاصل شد (شکل ۶). شماره‌های مشخص شده در شکل (۵) و شکل (۶) موقعیت‌های یکسان بارگذاری را نشان می‌دهد.

سری دوم آزمایش‌ها با هدف جمع‌آوری داده‌هایی برای ارزیابی مدل المان محدود در دو آزمایش انجام شد. آزمایش نخست، تعیین توزیع فشار بین سطح تماس میوه با سطح بارگذاری است. این آزمایش با استفاده از قرار دادن فیلم فشارسنج (مدل تکاسکن ۵۰۵۱^۱) ساخت کشور ایالات متحده آمریکا) در بین صفحه بارگذاری و میوه، به صورت نشان داده شده در شکل ۴ انجام گرفت. این حسگر انعطاف‌پذیر، دارای ۴۴ ردیف و ۴۴ ستون با ضخامت $۰/۱$ میلی‌متر است. با استفاده از

۱.۱ Tactile Sensor, Type Tekscan No. 5051, USA.



شکل ۴- سمت راست فیلم فشارسنج، سمت چپ موقعیت فیلم هنگام آزمایش بارگذاری فشاری



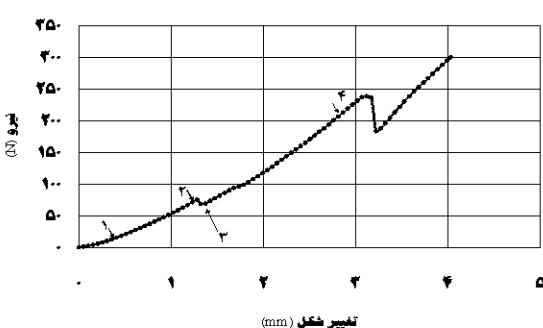
شکل ۵- توزیع فشار (بر حسب کیلو پاسکال) در سطح تماس میوه با صفحه بارگذاری به ترتیب شماره در بار ۱۵، ۱۵، ۷۵ (قبل از نقطه شکست اول)، ۷۰ (بعد از شکست اول) و ۲۰ نیوتون.

مدل اجزای محدود

نرم افزار شبیه سازی مهندسی انسیس (نسخه ۸/۰) جهت مدل سازی و انجام تحلیل اجزای محدود مورد استفاده قرار گرفت. در میان قابلیت های نرم افزار مذکور در تحلیل اجزای محدود، شاخص ترین آنها با توجه به اهداف این تحقیق توانایی انجام تحلیل های غیر خطی است. مسائلی مانند بارگذاری میوه شامل سه عامل غیر خطی مادی، غیر خطی هندسی (تغییر شکل بزرگ) و غیر خطی شرایط مرزی (تماس) هستند. لذا جهت انجام تحلیل های غیر خطی باید بارگذاری به صورت نموی بر روی میوه صورت گرفته و سپس شرایط تعادل در هر نمو لحاظ گردد.

از ابعاد و انحنای میوه که قبل از ندازه گیری شد برای ایجاد مدل هندسی استفاده گردید (جدول ۱). علاوه بر آن میوه سیب با برشی طولی (سر-دم) نصف گردید و سطح مقطع حاصل اسکن شد. سپس تصویر سطح مقطع پردازش شده و موقعیت بخش های مختلف مثل شکل بافت مرکزی (هسته) به طور دقیق مشخص گردید. ابعاد اصلی سیب مدل شده عبارتند از: قطر ۹۰ میلی متر، ضخامت پوست ۵۰۰ میکرومتر، قطر کوچک هسته (در جهت عمود بر محور سر-دم) ۱۰ میلی متر، قطر

همان طور که در شکل (۵) مشاهده می شود با افزایش بار، فشار در سطح تماس افزایش می یابد. در نقاط ۱ و ۲ بیشینه فشار در مرکز سطح تماس مشاهده می شود که مقدار فشار تماسی به تدریج به سمت لبه ها کاهش می یابد. در نقطه ۳ به دلیل شکست بافت، ناحیه سیاه رنگ از مرکز فاصله گرفته و به سمت لبه تمایل پیدا می کند. سپس با افزایش بار در نقطه ۴ فشار مجدداً در مرکز سطح افزایش می یابد و نی همچنان نسبت به نقطه دو در مقدار پایین تری است. بالعکس متوسط فشار در لبه بیشتر از متوسط فشار در مرکز سطح تماس است. دلیل این موضوع آسیب دیدگی بافت در مرکز سطح تماس است.



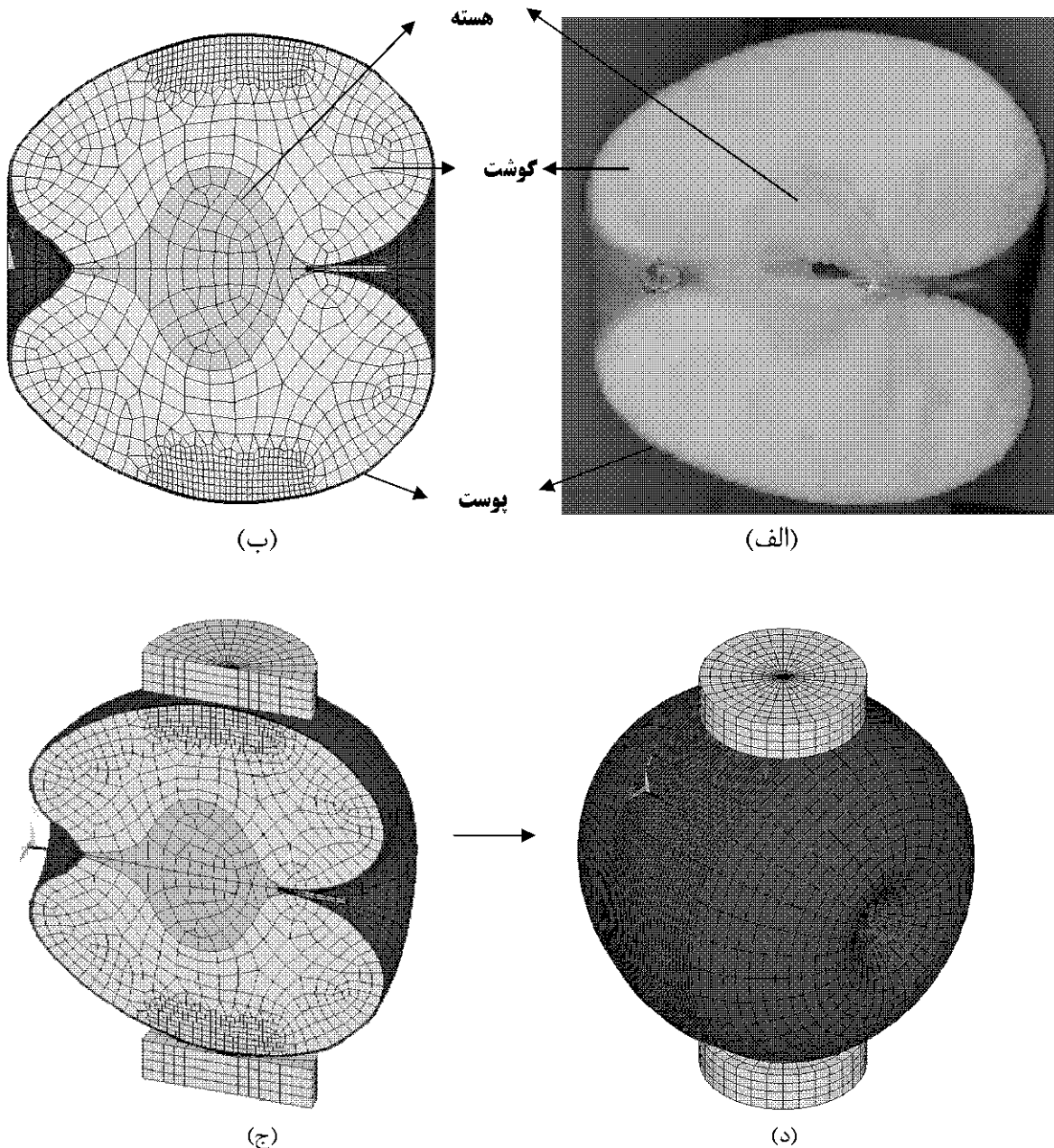
شکل ۶- نمودار نیرو - تغییر شکل بارگذاری بر روی نصف نمونه میوه سیب با استفاده از دستگاه تست یونیورسال

بارگذاری، مدل سه بعدی با لحاظ نمودن صفحه تقارن به صورت نصف میوه کامل ایجاد گردید (شکل ۷). المان‌های مورد استفاده شامل المان سه‌بعدی سالید^{۴۵} و المان تماسی^{۴۹} است (ANSYS, 2004).

2. SOLID45
3. CONTAC49

بزرگ هسته (درجہت محور سردم) ۲۸/۵ میلی‌متر و ارتفاع سیب ۸۷ میلی‌متر. سپس با استفاده از گزینه ترسیم انحصار اسپی لاین^۱ خطوط مرزی، بسیار نزدیک به میوه واقعی حاصل شد. در مرحله بعد مدل هندسی دو بعدی گسترش داده شد و در نهایت با توجه به عدم وجود تقارن محوری در راستای

1. Spline



۷- مراحل مدل کردن میوه سیب (الف) سطح مقطع اسکن شده میوه حقیقی، (ب) ایجاد مدل اجزای محدود میوه با بخش‌های مجزا برای هر قسمت میوه، (ج) ایجاد صفحات بارگذاری در مدل، (د) مدل اجزای محدود میوه کامل

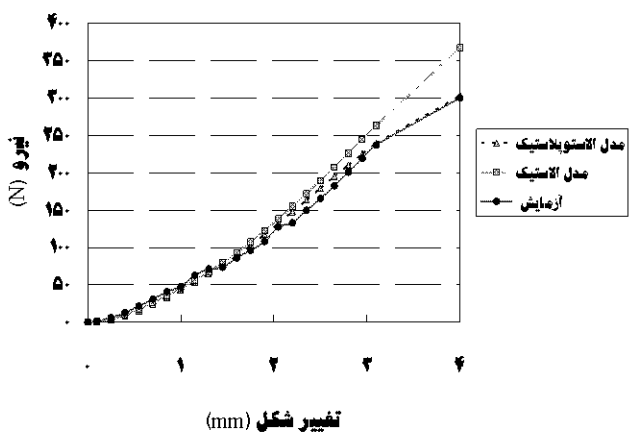
گوشت میوه سیب از پلاستیسیته غیر وابسته به زمان مدل دوخطی ایزوتروپیک با معیار شکست ون مایزز و در سایر قسمت‌ها از الاستیک خطی استفاده گردید. در این تحقیق با

مرحله بعد تعریف خواص مادی (خواص فیزیکی، مکانیکی و ...) قسمت‌های مختلف مدل است که با توجه به هدف این تحقیق برای تعیین و بررسی گسترش ناحیه نهیدگی در قسمت

نمونه‌های دوتایی مدل الاستیک با داده‌های آزمایشگاهی در سطح یک درصد معنی دار بوده درحالی که اختلاف نمونه‌های دوتایی مدل الاستوپلاستیک با داده‌های آزمایشگاهی در سطح یک درصد معنی دار نیست. بنابراین با توجه به کمتر بودن میانگین اختلاف نتایج مدل الاستوپلاستیک با داده‌های آزمایشگاهی نسبت به مدل الاستیک می‌توان نتیجه گرفت مدل الاستوپلاستیک به کار گرفته شده در این تحقیق رفتار مکانیکی میوه سبب را در بارگذاری استاتیکی بهتر پیش بینی می‌کند. علت این امر در نظر گرفتن ناحیه لهیدگی و شکست بافت میوه حین بارگذاری در مدل الاستوپلاستیک است که منجر به بهبود جواب‌های مدل می‌شود (شکل ۸).

جدول ۲- تجزیه واریانس مقایسه نمونه‌های دوتایی نیرو در تغییر شکل یکسان صفحات بارگذاری

نمونه دوتایی	اختلاف	معیار خطا	میانگین	انحراف		درجه آزادی	مقدار P
				معیار	انحراف		
آزمایش - مدل الاستیک	۳۴/۸۸	۶/۵۹	۲۷	۰/۰۰۲	۲۲/۶۶		
آزمایش - مدل الاستوپلاستیک	۸/۲۲	۱/۵۵	۲۷	۰/۰۲	۳/۳۴		



شکل ۸- مقایسه نتایج رفتار مکانیکی مدل الاستوپلاستیک، مدل الاستیک و آزمایش عملی روی میوه سبب در بارگذاری‌های مختلف

به منظور ارزیابی بیشتر مدل‌های شبیه سازی، دومین مقایسه بر روی نتایج حاصل از فشار بیشینه در سطح تماس میوه با صفحات بارگذاری انجام شد. جدول (۳) نتایج تجزیه واریانس مقایسه نمونه‌های دوتایی فشار بیشینه در سطح تماس حاصل از پیش بینی مدل الاستیک و مدل الاستوپلاستیک با سنسور فیلم فشارسنج را نشان می‌دهد. نتایج نشان می‌دهد میانگین اختلاف در مدل الاستیک بیش از دو برابر میانگین اختلاف در مدل الاستوپلاستیک است. اختلاف نمونه‌های دوتایی فشار بیشینه پیش بینی شده در مدل الاستیک و داده‌های آزمایشگاهی در سطح یک درصد معنی دار است اما این اختلاف

توجه به نمودار به دست آمده از آزمون تک محوری (شکل ۳) و مقایسه آن با مدل‌های پلاستیسیته مهندسی، مدل پلاستیسیته مناسب به صورت دو خطی انتخاب گردید. در مدل الاستوپلاستیک دو خطی رفتار تنش-کرنش ماده تا قبل از نقطه تسلیم به صورت خطی با شبیع معادل مدول الاستیسیته یا مدول یانگ (E_y) می‌باشد و پس از آن منحنی تنش-کرنش با شبیع معادل مدول تانزانت (E_t) ادامه خواهد یافت. در مدل‌های پلاستیسیته، ماده با رسیدن به یک سطح معلوم تنش (تنش تسلیم) دچار کرنش بدون بازگشت یا به عبارت دیگر تغییر شکل دائمی می‌شود، ولی مدل الاستیک خطی رفتار ماده‌ای را نشان می‌دهد که در آن تغییرات تنش نسبت به کرنش به صورت خطی است و در آن پس از باربرداری تغییر شکل‌ها و کرنش‌های ماده صفر می‌شود (Beer et al. 2005). بنابراین براساس اطلاعات آزمون‌های انجام شده، نتایج تحقیقات سایر محققین و هدف این پژوهش، خواص مادی مدل در سه قسمت گوشت، پوست و هسته بدین صورت تعریف می‌گردد: الف- گوشت: مدول الاستیسیته $4/25$ مگا پاسکال، تنش تسلیم 337 کیلو پاسکال، کرنش تسلیم $0/079$ و مدول تانزانت صفر (از نتایج تحقیق حاضر)، نسبت پواسون $0/3$ (Mohsenine, 1986). ب- پوست: مدول الاستیسیته 12 مگاپاسکال و نسبت پواسون $0/35$ (Van Zeebroeck, 2005) و ج- هسته: مدول الاستیسیته 7 مگاپاسکال و نسبت پواسون $0/35$ (Dintwa et al. 2008). علاوه بر عامل غیر خطی مادی دو عامل غیرخطی تغییر شکل هندسی و تغییر شرایط مرزی در مسئله بارگذاری میوه وجود دارد که در تحلیل حاضر لحاظ شده‌اند.

نتایج و بحث

به منظور ارزیابی مدل‌های اجزای محدود، بررسی‌هایی بین نتایج پیش بینی شده حاصل از مدل‌های شبیه‌سازی با نتایج آزمایش‌های عملی صورت گرفت. اولین مقایسه روی نیروهای وارد شده بر صفحات بارگذاری در تغییر شکل یکسان با استفاده از مقایسه میانگین آزمون t نمونه‌های دوتایی^۱ انجام شد. جدول (۲) تجزیه واریانس مقایسه نمونه‌های دوتایی نیرو در صفحات بارگذاری مدل الاستیک و مدل الاستوپلاستیک با آزمایش را نشان می‌دهد. با وجود آنکه در تحلیل هر دو مدل، عوامل غیر خطی هندسی و شرایط مرزی به طور یکسان لحاظ گردید لیکن میانگین اختلاف نتایج در مدل الاستیک بسیار بیشتر از مدل الاستوپلاستیک مشاهده می‌شود. اختلاف

1. Paired-samples T test

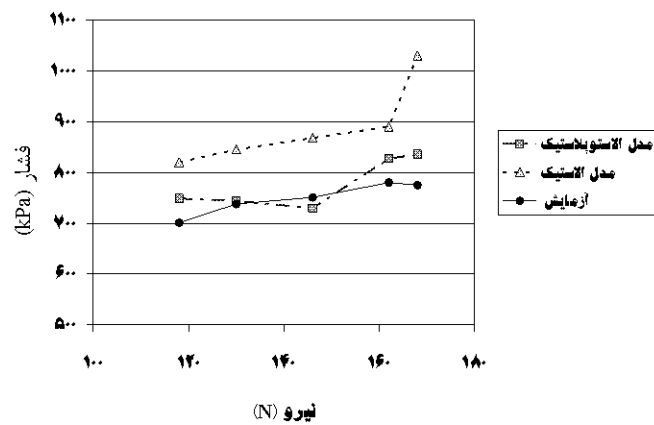
ولی پس از عبور از ناحیه الاستیک به دلیل شکست مکانیکی بافت در زیر پوست به مقدار ثابت رسیده و یا دچار افت فشار می‌گردد (شکل ۹). این نکته شایان ذکر است که مدل الاستیک نیز می‌تواند نتایج قابل قبولی را قبل از اولین نقطه شکست مکانیکی میوه (نقطه شماره ۲۵ در شکل ۶) ارائه دهد (شکل ۱۰).

در مدل الاستوپلاستیک در سطح یک درصد معنی دار نیست. در مدل الاستیک با افزایش نیروی بارگذاری، فشار بیشینه در سطح تماس بدون تغییر به روند صعودی خود ادامه می‌دهد در حالی که در مدل الاستوپلاستیک همانند مشاهدات آزمایش‌های عملی فشار بیشینه ابتدا با افزایش بارگذاری روند صعودی دارد

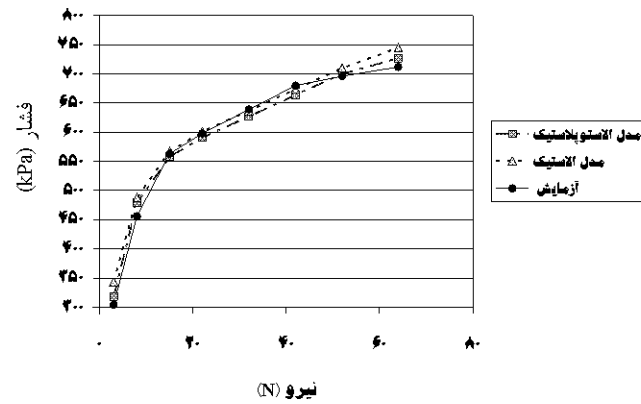
جدول ۳- تجزیه واریانس مقایسه نمونه های دوتایی فشار بیشینه در سطح تماس

نمونه دوتایی	میانگین اختلاف	میانگین اختلاف	انحراف معيار	انحراف معيار	درجه آزادی	مقدار p
سنسور- مدل الاستیک	۱۱۶/۱۱	۱۵۸/۳۱	۳۷/۳۱	۲۲/۶۵	۱۷	۰/۰۰۶
سنسور- مدل الاستوپلاستیک	۵۷/۳۳	۹۶/۱۰	۲۲/۶۵	۳۷/۳۱	۱۷	۰/۰۲۲

الاستيك بوده و دچار لهيدگي نمي گردد. ليكن در بارگذاري ۱۵ نيوتن كرنش معادل به بيش از كرنش شکست رسيده و ناحيه به قطر ۶ ميلي متر و عمق ۰/۸ ميلي متر را دچار لهيدگي خواهد نمود. با افزايش نيري بارگذاري ابعاد ناحيه لهيدگي افزايش مي يابد به طوري که اين ناحيه در نيري ۳۲ نيوتن، قطر ۱۱ ميلي متر و عمق ۱/۶ ميلي متر خواهد داشت. بنابراین بارگذاري با نيري بيشر از ۳۲ نيوتن موجب افزايش عمق ناحيه لهيدگي به بيش از ۱/۶ ميلي متر خواهد شد به طوري که در شكل ۱۱-د ابعاد ناحيه لهيدگي در بار ۴۲ نيوتن به بيش از ۱۲ ميلي متر قطر و ۲ ميلي متر عمق مي رسد. بنابراین با توجه به شاخص هاي استاندارد درجه بندی آمريكا که عمق بيش از ۱/۶ ميلي متر را در درجه عالي نمي پذيرد (USDA, 2002)، مقدار مجاز بارگذاري استاتيکي برای رقم رد دليشر ۳۲ نيوتن به دست مي آيد. اين نتيجه با نتایج ساير محققین تطابق خوبی نشان مي دهد. فشار (Lewis et al. 2007) که از تجهیزات اندازه گیری فشار تماسی مافوق صوت برای تعیین سطح ناحيه لهيدگي استفاده نمودند، مقدار مجاز بار استاتيکي را برای سيب ۳۵ نيوتن بيان کردند. Toivonen et al. (2007) فاكتورهای موثر بر لهيدگي سيب را مورد بررسی قرار دادند و گزارش نمودند نيري هاي فشاری ۴۴/۵ و ۶۶/۷ نيوتن بر روی سيب مي تواند به ترتیب موجب آسیب دیدگی جزئی، متوسط و شدید در این میوه گردد. این محققیق مقدار بار فشاری مجاز را به طور مشخص در گزارشات خود ذکر نکرده اند با این وجود نتایج تحقیقات Toivonen et al. نشان داد ۷۰ درصد سيب ها در بار ۲۲/۲ نيوتن دچار لهيدگي قابل تشخيص نمي شوند. بنابراین می توان بر اساس تحقیقات Toivonen et al. محدود بار مجاز را بين ۲۲/۲ تا ۴۴/۵ نيوتن در نظر گرفت که با نتایج مدل شبیه سازی شده سيب در این تحقیق تطابق بسیار خوبی نشان مي دهد.

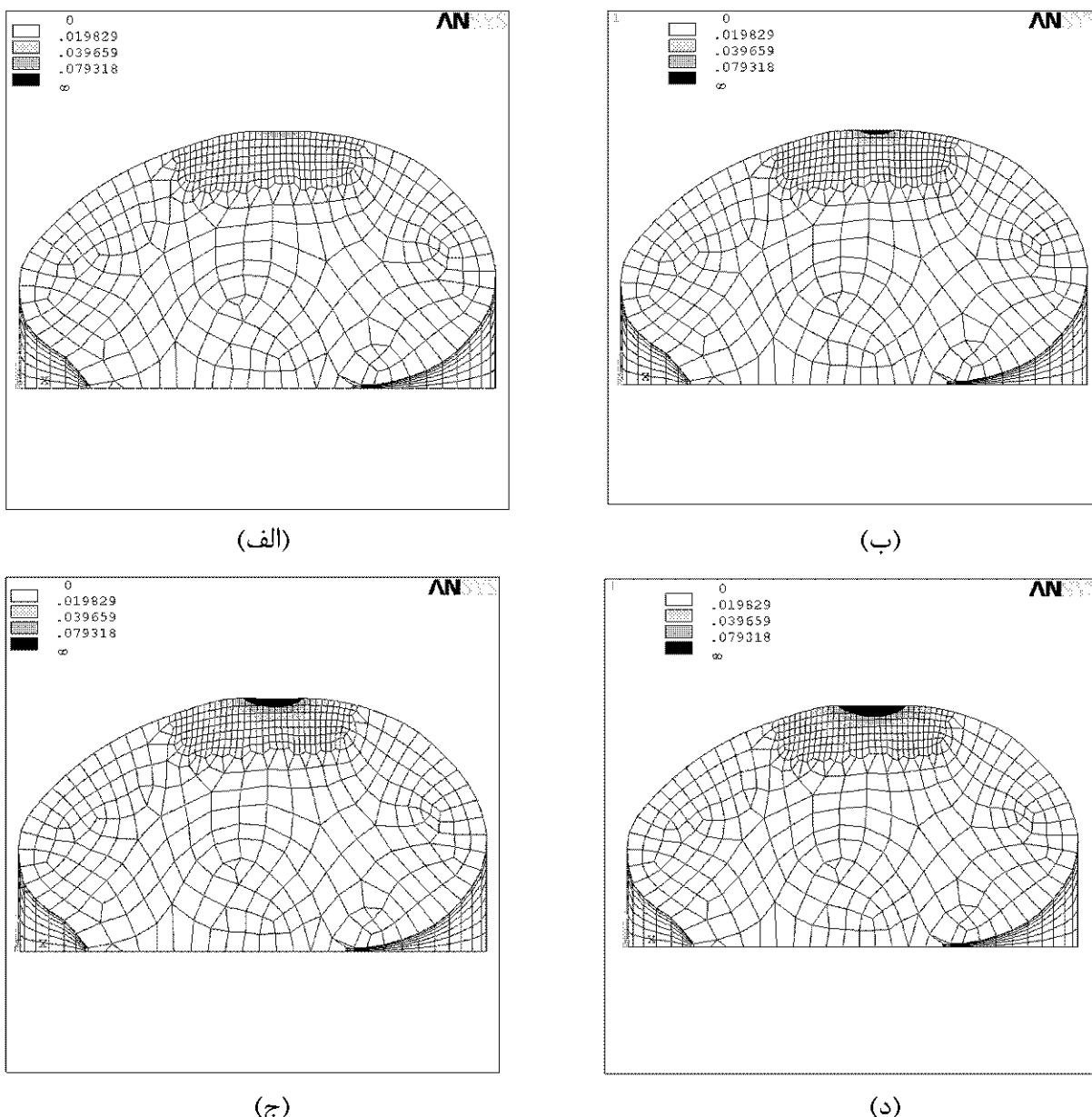


شکل ۹- مقایسه نتایج فشار بیشینه پیش بینی شده توسط مدل های اجزای محدود و سنسور فیلم فشار سنج پس از شکست بافت



شکل ۱۰- مقایسه نتایج فشار بیشینه پیش بینی شده توسط مدل های اجزای محدود و سنسور فیلم فشار سنج در ناحیه الاستیک

با توجه به نتایج به دست آمده از جداول تجزیه واریانس (۲) مدل الاستوپلاستیک برای بررسی و پیش بینی ناحیه لهیدگی در بارگذاری های استاتیکی حین عملیات پس از برداشت استفاده شد. شکل (۱۱) کرنش ون مایزر معادل را در بارگذاری های ۸، ۱۵، ۳۲ و ۴۲ نیوتون نشان می دهد. در بارگذاری با نیروی ۸ نیوتون کرنش معادل کمتر از کرنش شکست یعنی 0.79318 در تمام قسمت های گوشت میوه مشاهده می شود. لذا در این نیرو سبب دارایی تغییر شکل



شکل ۱۱- کرنش معادل ون مایزز در بارگذاری شبیه استاتیکی سیب به ترتیب حروف در نیروهای ۸، ۱۵، ۳۲ و ۴۲ نیوتون. ناحیه سیاه رنگ کرنش پلاستیک یا ناحیه لهیدگی را نشان می‌دهد.

- مرکز تماس است درحالی که بعد از نقطه شکست بیشینه فشار تماسی در ناحیه کناری سطح تماس قرار دارد.
- ۴- نتایج مدل اجزای محدود الاستیک با داده‌های آزمایشگاهی دارای اختلاف معنی‌دار است در حالی که نتایج مدل اجزای محدود الاستوپلاستیک با داده‌های آزمایشگاهی اختلاف معنی‌داری را نشان نمی‌دهد.
- ۵- مقدار بار مجاز استاتیکی بر روی میوه سیب رقم رد دلیشور با استفاده از مدل شبیه سازی الاستوپلاستیک ۳۲ نیوتون به دست آمد که با نتایج آزمایش‌های سایر محققان تطابق خوبی دارد.

نتیجه‌گیری کلی

- ۱- با وجود آنکه تفاوت قطرهای اصلی میوه سیب رقم رد دلیشور ناچیز است ولی انحنای سطح در قسمت‌های مختلف آن دارای اختلاف نسبتاً شدید است، لذا در نظر گرفتن کره به جای شکل میوه واقعی می‌تواند خطای شبیه سازی را افزایش دهد.
- ۲- مدل دوخطی ایزوتروپیک با معیار شکست ون مایزز برای تعريف رفتار غیرخطی و لهیدگی گوشتش میوه سیب مناسب تشخیص داده شد.
- ۳- نتایج توزیع فشار در سطح تماس میوه با صفحه بارگذاری نشان داد که بیشینه فشار تماسی قبل از نقطه شکست در

سپاسگزاری

بدین وسیله نگارندگان از حوزه معاونت محترم پژوهشی
دانشکده کشاورزی دانشگاه فردوسی مشهد که بخشی از منابع

مالی این پژوهش را توسط طرح پژوهشی به شماره
تصویب نامه ۲۵۹ پ مورخ ۸۷/۳/۲۵ تامین نموده‌اند.
سپاسگزاری می‌نمایند.

REFERENCES

- Afkari Sayyah, A.H., Esmailiyan, M., Minaei, S. & Pirayesh, A. (2008). The Effect of Mechanical Loads on Apple Damage after Storage. *JFST*, 5(2), 37-44. (In Farsi)
- American Society of Agricultural Engineering (ASAE). (2003). ASAE standard, Compression Test of Food Material of Convex Shape. *ASAE S368.4 DEC00*.
- ANSYS Help System., (2004) Analysis Guide and Theory Reference. Ver 8.
- Beer, F., Johnston, R. & DeWolf, J. (2005). *Mechanics of Materials*. McGraw-Hill Science.
- Brown, G. K., & Segerlind, L. J. (1975). Location probabilities of surface injuries for some mechanical harvested apples. *Transactions of the ASAE*, 18, 57-61.
- Cardenas-Weber, M., R. L. Stroshine, K. Haghghi, & Y. Edan. (1991). Melon Material Properties and Finite Element Analysis of Melon Compression with Application to Robot Gripping. *Transactions of the ASAE*, 34 (3), 920-929
- Chen, H., De Baerdemacker, J., Bellon, V. (1996). Finite Element Study of The Melon For Nondestructive Sensing of Firmness. *Transactions of The ASAE*, 39(3), 1057-1065.
- Dintwa, E., Van Zeebroeck, M., Ramon, H., & Tijskens, E. (2008). Finite element analysis of the dynamic collision of apple fruit. *Postharvest Biology & Technology*, 49, 260-276.
- Hyde, G.M., Baritelle, A.L., & Varith, J., (2001). Fruit and vegetable conditioning to improve impact bruise threshold. In: *Proceedings of the 6th International Symposium on Fruit, Nut, and Vegetable Production Engineering*, Potsdam, Germany, September 11-14.
- Johnson, D.S., & Dover, C. J., (1990). Factors influencing the bruise susceptibility of Bramley's seedling apples. In: *Proceedings of the European Workshop on Impact Damage of Fruits and Vegetables*, Zaragoza, Spain, pp. 87-93.
- Kupferman, E. (2006). Minimizing bruising in apples, Postharvest Information Network, Washington State University, Tree Fruit Research and Extension Center.
- Lewis, R., Yoxall, A., Marsall, M. B., & Canty, L. A. (2007) Characterising pressure and bruising in apple fruit., *Wear*, 264(1-2), 37-46 .
- Lu, R., & Abbott, J. A. (1997). "Finite element modeling of transient responses of apples to impulse excitation, *Transactions of the ASAE*, 40, 395-409.
- Mohsenin, N. N. (1986). *Physical Properties of Food and Agricultural Materials*, 2nd Revised and Update Edition, Gordon and Breach Science Publishers, New York.
- Nourain J. , Ying Yi-bin, Wang Jian-ping , Rao Xiu-qin, & YU Chao-gang. (2005). Firmness Evaluation of Melon Using Its Vibration Characteristic and Finite Element Analysis. *Journal of Zhejiang University Science*, 6B(6), 483-490
- Rahemi, M. (2005). *Postharvest An Introduction to the Physiology and Handling of Fruit, Vegetables and Ornamentals*. Shiraz University Press.(In Farsi)
- Sitkei, G. (1986). *Mechanics of Agricultural Materials*. Elsevier, Amesterdam.
- Siyami, S., Brown, G. K., Burgess, G. J., Gerrish, J. B., Tennes, B. R., Burton, C.L., & Zapp, R.H. (1988). Apple impact bruise prediction models. *Transactions of the ASAE*, 31, 1038-1046.
- Toivonen, P. M. A., Hampson, C., Stan, S., Mckenzie, D., & Hocking, R. (2007). Factors affecting severity of bruises and degree of apparent bruise recovery in a yellow-skinned apple. *Postharvest Biology and Technology*, 45, 276-280.
- United States Department of Agriculture (USDA). (2002). United States Standards for Grades of Apples, Washington, D. C.
- Van Lancker, J. (1979). Bruising of unpeeled apples and potatoes in relation with temperature and elasticity. *Lebensmittel Wissenschaft Technologie*, 12, 157-161.
- Van Zeebroeck M., Van Linden, V., Darius, P., De Ketelaere, Ramon, H., & Tijskens, E. (2007). The effect of fruit factors on the bruise susceptibility of apples. *Postharvest Biology and Technology*, 46, 10-19.
- Van Zeebroeck, M. (2005). The discrete element method (DEM) to simulate fruit impact damage during transport and handling. PhD thesis No. 643. Faculteit Bio-ingenieurswetenschappen, Katholieke Universiteit Leuven.
- Wang R. Jiao Qunying & Wei Deqiang. (2004). on the Mechanical Damage of Grape Using Finite Element Analysis. *ASAE/CSAE Annual International Meeting*. Canada